



Laboratorium EMVO Sp. J. Urbański, Pawełak

ul. Jasna 1
00-013 Warszawa

tel. +48 22 780 29 64

e-mail: laboratorium@emvo.pl



AB 1630

Sprawozdanie z pomiarów pól elektromagnetycznych - środowisko nr 09/03/OŚ/2023-P4



Nr i nazwa stacji	GDA0096A	
Adres	Gdańsk, ul. Słowackiego 27, pow. Gdańsk, woj. pomorskie	
Opracowanie	Wiesław Laskowski	Specjalista ds. pomiarów
Autoryzacja	Andrzej Urbański	Kierownik Laboratorium
Podpis		
Data	2023-03-08	

Spis treści

1. Informacje ogólne.	3
2. Podstawa prawna.	3
3. Opis pomiarów	3
4. Zróżnicowanie dopuszczalne poziomy pól elektromagnetycznych.....	4
5. Charakterystyka źródeł PEM.....	5
6. Wyniki pomiarów.	6
7. Stwierdzenie zgodności	8
8. Oświadczenie.....	9
9. Spis załączników.	9

1. Informacje ogólne.

Zleceniodawca	P4 Sp. z o.o., ul. Wynałazek 1, 02-677 Warszawa osoba udzielająca informacji – Magdalena Sokół
Istotne informacje dostarczone przez klienta	komplet informacji niezbędnych do wykonania pomiarów i opracowania sprawozdania
Dane otrzymane od klienta mogące mieć wpływ na ważność wyników	dane anten sektorowych, dane anten radioliniowych, parametry pracy instalacji, poprawka pomiarowa
Prowadzący instalację	P4 sp. z o.o., ul. Wynałazek 1, 02-677 Warszawa
Lokalizacja obiektu	Gdańsk, ul. Słowackiego 27, pow. Gdańsk, woj. pomorskie
Miejsce instalacji anten	dach
Miejsce instalacji urządzeń	outdoor
Osoby wykonujące pomiar	Roman Murawski - pomiarowiec
Data wykonania pomiaru	2023-03-08
Godzina rozpoczęcia pomiaru	8.40
Godzina zakończenia pomiaru	10.35
Temperatura na początku pomiaru [°C]	2
Temperatura na koniec pomiaru [°C]	2
Warunki atmosferyczne	brak opadów
Wilgotność na początku pomiaru [%]	64
Wilgotność na koniec pomiaru [%]	64
Inne źródła pól elektromagnetycznych oznaczone na załączniku graficznym	nie występują
Parametry pracy instalacji	tryb eksploatacyjny

2. Podstawa prawna.

2.1 Normy i rozporządzenia:

- Rozporządzeniem Ministra Klimatu z dnia 17 lutego 2020 r. w sprawie sposobów sprawdzania dotrzymania dopuszczalnych poziomów pól elektromagnetycznych w środowisku (Dz.U. 2020 poz. 258)
- Rozporządzenie Ministra Zdrowia z dnia 17 grudnia 2019 r. w sprawie dopuszczalnych poziomów pól elektromagnetycznych w środowisku (Dz.U. 2019 poz. 2448)
- Obwieszczenie Marszałka Sejmu Rzeczypospolitej Polskiej z dnia 29 września 2021 r. w sprawie ogłoszenia jednolitego tekstu ustawy - Prawo ochrony środowiska (Dz.U. 2021 poz. 1973)
- Rozporządzenie Ministra Klimatu i Środowiska z dnia 6 maja 2022 r. zmieniające rozporządzenie w sprawie sposobów sprawdzania dotrzymywania dopuszczalnych poziomów pól elektromagnetycznych w środowisku (Dz.U. 2022 poz. 1121).

3. Opis pomiarów

Metodologia pomiarowa Pomiary w oparciu o Rozporządzeniem Ministra Klimatu z dnia 17 lutego 2020 r. w sprawie sposobów sprawdzania dotrzymania dopuszczalnych poziomów pól elektromagnetycznych w środowisku (Dz.U. 2020 poz. 258) oraz Rozporządzenie Ministra Klimatu i Środowiska z dnia 6 maja 2022 r. zmieniające rozporządzenie w sprawie sposobów sprawdzania dotrzymywania dopuszczalnych poziomów pól elektromagnetycznych w środowisku (Dz.U. 2022 poz. 1121).

Cel badań Określenie wartości natężenia pola elektrycznego w miejscach dostępnych dla ludności.

Opis zestawu pomiarowego	<p>Miernik Narda NBM 550, Sonda EF-6092, o zakresie pomiarowym 0,7 V/m –300V/m pracująca w paśmie 0,1 – 90 GHz, świadectwo wydane przez Laboratorium Wzorców i Metrologii Pola Elektromagnetycznego, Instytut Telekomunikacji, Teleinformatyki i Akustyki Politechniki Wrocławskiej. Świadectwo ważne do 10.06.2024 r.</p> <p>Miernik Narda NBM 550, Sonda EF-6092 pracująca w zakresie temperatury -10°C - +50°C oraz wilgotności 5% - 95%</p> <p>Niepewność rozszerzona wynosi 58,8% przy poziomie ufności 95% z uwzględnieniem współczynnika rozszerzenia k=2.</p>
Wyposażenie pomocnicze	<p>Termohigrometr Bestone, Nr. inwentarzowy 03/WL, nr identyfikacyjny 1222436, typ: GM1362-EN-00, świadectwo wzorcowania z dn. 22.12.2015 r. wydane przez Laboratorium Pomiarowe „MUTECH”.</p> <p>Przymiar wstęgowy STABILA, Nr. inwentarzowy 06/WL, nr identyfikacyjny 06WL, świadectwo wzorcowania z dn. 22.09.2021 r. wydane przez Zespół Laboratoriów wzorcujących Okręgowego Urzędu Miar w Gdańsku.</p> <p>GPS Garmin 64s okresowo sprawdzany w punktach osnowy geodezyjnej klasy 3 na podstawie licencji punktu, zgodnie z procedurą sprawdzeń okresowych IS/PO-16-11/03.</p>
Pomiary zostały wykonane	<ol style="list-style-type: none"> na głównych i pomocniczych kierunkach pomiarowych, na kierunkach zbliżonych do azymutów anten oraz w dodatkowych pionach pomiarowych zgodnie z wymaganiami pkt 12, 13, 14 i 19 Rozporządzenia Ministra Klimatu z dnia 17 lutego 2020 r. (Dz. U. 2020, poz. 258) oraz Rozporządzenia Ministra Klimatu i Środowiska z dnia 6 maja 2022 r. zmieniającego rozporządzenie w sprawie sposobów sprawdzania dotrzymywania dopuszczalnych poziomów pól elektromagnetycznych w środowisku (Dz.U. 2022 poz. 1121). na obszarze pomiarowym, dla którego, na podstawie uprzednio przeprowadzonych obliczeń stwierdzono w miejscach dostępnych dla ludności występowanie pól elektromagnetycznych o najwyższym poziomie, które pochodzą z badanej instalacji zgodnie z wymaganiami pkt 5 ppkt 2 oraz pkt 13 ppkt 1 Rozporządzenia Ministra Klimatu z dnia 17 lutego 2020 r. w sprawie sposobów sprawdzania dotrzymywania dopuszczalnych poziomów pól elektromagnetycznych w środowisku (Dz. U. 2020, poz. 258) oraz Rozporządzenia Ministra Klimatu i Środowiska z dnia 6 maja 2022 r. zmieniającego rozporządzenie w sprawie sposobów sprawdzania dotrzymywania dopuszczalnych poziomów pól elektromagnetycznych w środowisku (Dz.U. 2022 poz. 1121). Wyniki obliczeń nie uwzględniały parametrów pracy instalacji innych operatorów występujących na obiekcie bądź w obszarze pomiarowym. w miejscach dostępnych dla ludności. miejsca niedostępne podczas wykonywania pomiarów wskazane zostały w pkt 6 (tabeli wyniki pomiarów).
Szczególne warunki podczas wykonywania pomiarów	Pomiary wykonane zostały podczas obowiązywania w kraju stanu zagrożenia epidemicznego, zgodnie z art. 122a ust. 1b Ustawy z dnia 27 kwietnia 2001 r. – Prawo ochrony środowiska (Dz. U. z 2019 r. poz. 1396, z późn. zm.9))
Warunki pracy urządzeń nadawczych	Tryb pracy eksploatacyjny.

4. Zróżnicowanie dopuszczalne poziomy pól elektromagnetycznych.

Zakresy znajdują się w Dzienniku Ustaw z dnia 17 grudnia 2019 r. przedstawione są w tabeli nr 2 (Dz. U. z 2019r. poz. 2448).

Zakres częstotliwości pola elektromagnetycznego	Parametr fizyczny		
	Składowa elektryczna E (V/m)	Składowa magnetyczna H (A/m)	Gęstość mocy S (W/m ²)
od 400 MHz do 2000 MHz	$1,375 \times f^{0,5}$	$0,0037 \times f^{0,5}$	f / 200
od 2 GHz do 300 GHz	61	0,16	10

5. Charakterystyka źródeł PEM.

Zgodnie z informacją otrzymaną od klienta pomiary zostały wykonane przy ustawieniach pochylenia anten zgodnych z pkt. 13, ppkt 2 załącznika do rozporządzenia Ministra Klimatu z dnia 17 lutego 2020 roku.

Tabela 1. Anteny sektorowe - dane otrzymane od klienta

Charakterystyka promieniowania		kierunkowa									
Rzeczywisty czas pracy [h/dobę]		24									
Rodzaj wytwarzanego pola		stacjonarne									
Lp.	Wyszczególnienie	sektor 1			sektor 2						
I	Nadajnik stacji bazowej:										
1	Typ / Producent	DBS/RBS / Overlay Huawei/Ericsson									
2	Częstotliwość (pasmo) MHz	2100	1800	2600	800	2100	1800	2100	1800	900	
3	Maksymalna moc nadawana na sektor [dBm]	53,01	53,01	52,04	49,03	50	50	50	50	47,78	
II	Obciążenie:										
1	Typ anteny	Huawei AMB4519R6		Huawei ATR4518R13		Kathrein 742215		Kathrein 742264			
2	Producent anteny	Huawei		Huawei		Kathrein		Kathrein			
3	Ilość anten	1		1		1		1			
4	Azymut	11		110							
5	Zakres kątów pochylenia anten [°]	2,00-12,00		0,00-10,00	0,00-14,00	0,00-10,00	0,00-10,00	0,00-8,00	0,00-8,00	0,00-14,00	
6	Wysokość zainst. n.p.t. [m]	36,90		37,20							
7	EIRP [W]	23903		11785		11626		11441			

Charakterystyka promieniowania		kierunkowa												
Rzeczywisty czas pracy [h/dobę]		24												
Rodzaj wytwarzanego pola		stacjonarne												
Lp.	Wyszczególnienie	sektor 3						sektor 4		sektor 5				
I	Nadajnik stacji bazowej:													
1	Typ / Producent													
2	Częstotliwość (pasmo) MHz	2600	800	2100	1800	2100	1800	900	2100	1800	900	2600	800	
3	Maksymalna moc nadawana na sektor [dBm]	52,04	49,03	50	50	50	50	47,78	53,01	53,01	47,78	52,04	49,03	
II	Obciążenie:													
1	Typ anteny	Huawei ATR4518R13		Kathrein 742215		Kathrein 742264		Huawei AMB4519R6		Huawei A79451500		Huawei ATR4518R13		
2	Producent anteny	Huawei		Kathrein		Kathrein		Huawei		Huawei		Huawei		
3	Ilość anten	1		1		1		1		1		1		
4	Azymut	220						309		340				
5	Zakres kątów pochylenia anten [°]	0,00-10,00	0,00-14,00	0,00-10,00	0,00-10,00	0,00-8,00	0,00-8,00	0,00-14,00	2,00-12,00		0,00-14,00	0,00-10,00	0,00-14,00	
6	Wysokość zainst. n.p.t. [m]	40,20						36,90		36,90				
7	EIRP [W]	11785		11626		11441		23903		1782		11785		

Tabela 2. Anteny radioliniowe - dane otrzymane od klienta

Charakterystyka promieniowania				kierunkowa			
Rzeczywisty czas pracy [h/dobę]				24			
Rodzaj wytwarzanego pola				stacjonarne			
Lp.	Linia radiowa			Antena			
	typ/producent	częstotliwość pracy [GHz]	moc wyjściowa [dBm]	typ/producent	średnica anteny [m]	azymut [°]	wysokość zainstalowania n.p.t. [m] (środek elektryczny anteny)
1	OPTIX RTN/HUAWEI	80	18	VHLP1-80/Andrew	0,3	325	36,10

6. Wyniki pomiarów.

Wyniki pomiarów pól elektromagnetycznych dla celów ochrony środowiska przedstawia poniższa tabela. Piony pomiarowe zostały przedstawione w zał. 2.

Nr PP	Pole-E [V/m]	Pole-E+U [V/m]	Pole-H [A/m]	Pole-H +U [A/m]	Wysokość pomiaru [m]	Współrzędne PP x, y	Opis PP	WM _E	WM _H
1	1,0	1,59	0,003	0,004	0,3 - 2,0	54°22'54.56" N 18°35'12.19" E	otoczenie stacji bazowej - 100 m wzdłuż gł. osi promieniowania - GKP	0,058	0,058
2	0,7*	1,27	0,002	0,003	0,3 - 2,0	54°22'57.74" N 18°35'13.24" E	otoczenie stacji bazowej - 200 m wzdłuż gł. osi promieniowania - GKP	0,046	0,046
3	0,7*	1,27	0,002	0,003	0,3 - 2,0	54°23'0.91" N 18°35'14.3" E	otoczenie stacji bazowej - 300 m wzdłuż gł. osi promieniowania - GKP	0,046	0,046
4	0,7*	1,27	0,002	0,003	0,3 - 2,0	54°23'3.8" N 18°35'15.36" E	otoczenie stacji bazowej - 400 m wzdłuż gł. osi promieniowania - GKP	0,046	0,046
5	1,9	3,02	0,005	0,008	0,3 - 2,0	54°22'49.14" N 18°35'16.94" E	otoczenie stacji bazowej - 100 m wzdłuż gł. osi promieniowania - GKP	0,110	0,110
6	0,7*	1,27	0,002	0,003	0,3 - 2,0	54°22'48.08" N 18°35'22.18" E	otoczenie stacji bazowej - 200 m wzdłuż gł. osi promieniowania - GKP	0,046	0,046
7	1,6	2,54	0,004	0,007	0,3 - 2,0	54°22'47.03" N 18°35'27.42" E	otoczenie stacji bazowej - 300 m wzdłuż gł. osi promieniowania - GKP	0,092	0,092
8	1,8	2,86	0,005	0,008	0,3 - 2,0	54°22'45.98" N 18°35'32.65" E	otoczenie stacji bazowej - 400 m wzdłuż gł. osi promieniowania - GKP	0,104	0,104
9	1,4	2,22	0,004	0,006	0,3 - 2,0	54°22'47.89" N 18°35'7.34" E	otoczenie stacji bazowej - 100 m wzdłuż gł. osi promieniowania - GKP	0,081	0,081
10	0,7*	1,27	0,002	0,003	0,3 - 2,0	54°22'45.41" N 18°35'3.78" E	otoczenie stacji bazowej - 200 m wzdłuż gł. osi promieniowania - GKP	0,046	0,046
11	0,7*	1,27	0,002	0,003	0,3 - 2,0	54°22'42.7" N 18°35'0.1" E	otoczenie stacji bazowej - 300 m wzdłuż gł. osi promieniowania - GKP	0,046	0,046
12	0,7*	1,27	0,002	0,003	0,3 - 2,0	54°22'40.46" N 18°34'56.66" E	otoczenie stacji bazowej - 402 m wzdłuż gł. osi promieniowania - GKP	0,046	0,046
13	1,8	2,86	0,005	0,008	0,3 - 2,0	54°22'53.43" N 18°35'6.82" E	otoczenie stacji bazowej - 100 m wzdłuż gł. osi promieniowania - GKP	0,104	0,104
14	0,9	1,43	0,002	0,004	0,3 - 2,0	54°22'55.46" N 18°35'2.52" E	otoczenie stacji bazowej - 200 m wzdłuż gł. osi promieniowania - GKP	0,052	0,052
15	0,7*	1,27	0,002	0,003	0,3 - 2,0	54°22'57.5" N 18°34'58.21" E	otoczenie stacji bazowej - 300 m wzdłuż gł. osi promieniowania - GKP	0,046	0,046
16	1,1	1,75	0,003	0,005	0,3 - 2,0	54°22'59.53" N 18°34'53.91" E	otoczenie stacji bazowej - 400 m wzdłuż gł. osi promieniowania - GKP	0,064	0,063
17	0,7*	1,27	0,002	0,003	0,3 - 2,0	54°22'57.47" N 18°35'7.34" E	otoczenie stacji bazowej - 200 m wzdłuż gł. osi promieniowania - GKP	0,046	0,046
18	0,7*	1,27	0,002	0,003	0,3 - 2,0	54°23'3.55" N 18°35'3.55" E	otoczenie stacji bazowej - 400 m wzdłuż gł. osi promieniowania - GKP	0,046	0,046
19	1,8	2,86	0,005	0,008	0,3 - 2,0	54°22'52.71" N 18°35'9.54" E	otoczenie stacji bazowej - 50 m wzdłuż gł. osi promieniowania - GKP	0,104	0,104
20	1,0	1,59	0,003	0,004	0,3 - 2,0	54°22'54.04" N 18°35'7.95" E	otoczenie stacji bazowej - 100 m wzdłuż gł. osi promieniowania - GKP	0,058	0,058

„Bez pisemnej zgody Laboratorium niniejsze sprawozdanie nie może być powielane inaczej, jak tylko w całości. Ponadto wyniki dotyczą tylko badanych obiektów przywołanych w niniejszym sprawozdaniu z badań”

Nr PP	Pole-E [V/m]	Pole-E+U [V/m]	Pole-H [A/m]	Pole-H+U [A/m]	Wysokość pomiaru [m]	Współrzędne PP x, y	Opis PP	WM _E	WM _H
21	1,4	2,22	0,004	0,006	0,3 - 2,0	54°22'52.79" N 18°35'12.52" E	otoczenie stacji bazowej - PKP	0,081	0,081
22	1,1	1,75	0,003	0,005	0,3 - 2,0	54°22'51.11" N 18°35'8.4" E	otoczenie stacji bazowej - PKP	0,064	0,063
A	1,5	2,38	0,004	0,006	0,3 - 2,0	54°22'50.2" N 18°35'11.4" E	ul. Słowackiego 27, pomiar przy budynku - DPP	0,087	0,087
B	1,3	2,06	0,003	0,005	0,3 - 2,0	54°22'49.5" N 18°35'8.6" E	ul. Słowackiego 29, pomiar przy budynku - DPP	0,075	0,075
C	1,4	2,22	0,004	0,006	0,3 - 2,0	54°22'51.5" N 18°35'13.7" E	ul. Słowackiego 25, pomiar przy budynku - DPP	0,081	0,081
D	1,4	2,22	0,004	0,006	0,3 - 2,0	54°22'48.5" N 18°35'8.5" E	ul. Słowackiego 41, pomiar przy budynku - DPP	0,081	0,081
E	0,8	1,27	0,002	0,003	0,3 - 2,0	54°22'48.7" N 18°35'10.0" E	ul. Słowackiego 39, pomiar przy budynku - DPP	0,046	0,046
F	1,5	2,38	0,004	0,006	0,3 - 2,0	54°22'49.8" N 18°35'14.1" E	ul. Słowackiego 35-39a, pomiar przy budynku - DPP	0,087	0,087
G	1,5	2,38	0,004	0,006	0,3 - 2,0	54°22'48.0" N 18°35'15.1" E	ul. Słowackiego 32/34, pomiar przy budynku - DPP	0,087	0,087
H	1,2	1,91	0,003	0,005	0,3 - 2,0	54°22'48.1" N 18°35'13.4" E	ul. Słowackiego 36, pomiar przy budynku - DPP	0,069	0,069
I	0,9	1,43	0,002	0,004	0,3 - 2,0	54°22'47.6" N 18°35'11.3" E	ul. Słowackiego 38/40, pomiar przy budynku - DPP	0,052	0,052
J	1,1	1,75	0,003	0,005	0,3 - 2,0	54°22'47.3" N 18°35'9.3" E	ul. Słowackiego 42, pomiar przy budynku - DPP	0,064	0,063
K	1,8	2,86	0,005	0,008	0,3 - 2,0	54°22'51.9" N 18°35'9.1" E	ul. Reymonta 15, pomiar przy budynku - DPP	0,104	0,104
L	1,6	2,54	0,004	0,007	0,3 - 2,0	54°22'53.2" N 18°35'9.7" E	ul. Chrzanowskiego 6, pomiar przy budynku - DPP	0,092	0,092
M	0,7*	1,27	0,002	0,003	0,3 - 2,0	54°22'54.3" N 18°35'9.8" E	ul. Chrzanowskiego 8/10, pomiar przy budynku - DPP	0,046	0,046
N	1,5	2,38	0,004	0,006	0,3 - 2,0	54°22'55.0" N 18°35'12.4" E	ul. Chrzanowskiego 9, pomiar przy budynku - DPP	0,087	0,087
O	1,4	2,22	0,004	0,006	0,3 - 2,0	54°22'55.8" N 18°35'12.7" E	ul. Chrzanowskiego 11, pomiar przy budynku - DPP	0,081	0,081
P	0,7*	1,27	0,002	0,003	0,3 - 2,0	54°22'56.6" N 18°35'12.8" E	ul. Stachury 1, pomiar przy budynku - DPP	0,046	0,046
R	0,7*	1,27	0,002	0,003	0,3 - 2,0	54°22'59.4" N 18°35'13.3" E	ul. Szymanowskiego 18, pomiar przy budynku - DPP	0,046	0,046
S	0,7*	1,27	0,002	0,003	0,3 - 2,0	54°23'1.0" N 18°35'13.5" E	ul. Szymanowskiego 13/15/17, pomiar przy budynku - DPP	0,046	0,046
T	0,7*	1,27	0,002	0,003	0,3 - 2,0	54°22'55.9" N 18°35'9.0" E	ul. Chrzanowskiego 12, pomiar przy ogrodzeniu - DPP	0,046	0,046
U	0,7*	1,27	0,002	0,003	0,3 - 2,0	54°22'56.4" N 18°35'8.3" E	ul. Chrzanowskiego 14, pomiar przy ogrodzeniu - DPP	0,046	0,046
V	0,7*	1,27	0,002	0,003	0,3 - 2,0	54°22'58.3" N 18°35'8.3" E	ul. Szymanowskiego 59, pomiar przy budynku - DPP	0,046	0,046
W	0,7*	1,27	0,002	0,003	0,3 - 2,0	54°22'59.0" N 18°35'6.1" E	ul. Chrzanowskiego 15/17/19, pomiar przy ogrodzeniu - DPP	0,046	0,046
X	0,7*	1,27	0,002	0,003	0,3 - 2,0	54°22'59.6" N 18°35'5.2" E	ul. Chrzanowskiego 21, pomiar przy ogrodzeniu - DPP	0,046	0,046
Y	0,7*	1,27	0,002	0,003	0,3 - 2,0	54°23'0.0" N 18°35'4.5" E	ul. W. Żeleńskiego 50/50a, pomiar przy ogrodzeniu - DPP	0,046	0,046
Z	0,8	1,27	0,002	0,003	0,3 - 2,0	54°23'1.2" N 18°35'4.6" E	ul. W. Żeleńskiego 45/47/49, pomiar przy ogrodzeniu - DPP	0,046	0,046
a	0,7*	1,27	0,002	0,003	0,3 - 2,0	54°22'55.1" N 18°35'5.2" E	ul. Reymonta 1, pomiar przy ogrodzeniu - DPP	0,046	0,046

Nr PP	Pole-E [V/m]	Pole-E+U [V/m]	Pole-H [A/m]	Pole-H +U [A/m]	Wysokość pomiaru [m]	Współrzędne PP x , y	Opis PP	WM _E	WM _H
b	0,7*	1,27	0,002	0,003	0,3 - 2,0	54°22'56.1" N 18°35'4.5" E	ul. Hubala 5/5a, pomiar przy ogrodzeniu - DPP	0,046	0,046
c	0,7*	1,27	0,002	0,003	0,3 - 2,0	54°22'56.4" N 18°35'1.7" E	ul. Hubala 11, pomiar przy ogrodzeniu - DPP	0,046	0,046
d	0,7*	1,27	0,002	0,003	0,3 - 2,0	54°22'56.8" N 18°35'0.1" E	ul. Hubala 15, pomiar przy ogrodzeniu - DPP	0,046	0,046
e	1,7	2,70	0,005	0,007	0,3 - 2,0	54°22'57.7" N 18°34'58.0" E	ul. Hubala 16, pomiar przy ogrodzeniu - DPP	0,098	0,098
f	1,6	2,54	0,004	0,007	0,3 - 2,0	54°22'58.3" N 18°34'56.0" E	ul. Hubala 23, pomiar przy ogrodzeniu - DPP	0,092	0,092
g	1,7	2,70	0,005	0,007	0,3 - 2,0	54°22'46.8" N 18°35'6.2" E	ul. Słowackiego 46, pomiar przy budynku - DPP	0,098	0,098
h	0,7*	1,27	0,002	0,003	0,3 - 2,0	54°22'46.0" N 18°35'4.7" E	ul. Słowackiego 48, pomiar przy budynku - DPP	0,046	0,046
i	0,7*	1,27	0,002	0,003	0,3 - 2,0	54°22'44.2" N 18°35'2.4" E	al. Żołnierzy Wykłętych 101, pomiar przy budynku - DPP	0,046	0,046
j	0,7*	1,27	0,002	0,003	0,3 - 2,0	54°22'43.4" N 18°35'1.1" E	ul. Partyzantów 103, pomiar przy budynku - DPP	0,046	0,046
k	1,9	3,02	0,005	0,008	0,3 - 2,0	54°22'48.9" N 18°35'18.5" E	ul. Słowackiego 28, pomiar przy budynku - DPP	0,110	0,110
l	2,0	3,18	0,005	0,008	0,3 - 2,0	54°22'48.6" N 18°35'19.4" E	ul. Słowackiego 26, pomiar przy budynku - DPP	0,115	0,115
m	1,8	2,86	0,005	0,008	0,3 - 2,0	54°22'46.2" N 18°35'30.4" E	ul. Partyzantów 65, pomiar przy budynku - DPP	0,104	0,104

Wynik pomiaru pole - E [V/m] - maksymalna wartość chwilowa zmierzona w danym pionie pomiarowym (uśredniona na podstawie punktu 11 załącznika do Rozporządzenia Ministra Klimatu z dnia 17 lutego 2020 r. w sprawie sposobów sprawdzania dotrzymania dopuszczalnych poziomów pól elektromagnetycznych w środowisku (Dz.U. 2020 poz. 258, Dz.U. 2022 poz. 1121)). Zgodnie z pkt. 7 załącznika do Rozporządzenia Ministra Klimatu z dnia 17 lutego 2020 r. w sprawie sposobów sprawdzania dotrzymania dopuszczalnych poziomów pól elektromagnetycznych w środowisku (Dz.U. 2020 poz. 258, Dz.U. 2022 poz. 1121) nie stosuje się poprawek pomiarowych.

Przyjęto najniższą dopuszczalną wartość składowej elektrycznej pola dla objętego pomiarami zakresu częstotliwości $\min(\text{MEgr}) = 28 \text{ V/m}$ oraz składowej magnetycznej $\min(\text{MHgr}) = 0,073 \text{ A/m}$.

* - wartość zmierzona poniżej zakresu akredytacji. Do obliczeń przyjęto wartość zgodną z dolną granicą akredytowanego zakresu pomiarowego metody.

GKP - główne kierunki pomiarowe

PKP - pomocnicze kierunki pomiarowe

DPP - dodatkowe punkty pomiarowe

PP - pion pomiarowy

U - niepewność pomiarowa rozszerzona, przy poziomie ufności 95%, z uwzględnieniem współczynnika rozszerzenia $k=2$

WM_E - wartość wskaźnikowa poziomu emisji pól elektromagnetycznych dla miejsc dostępnych dla ludności dla składowej elektrycznej pola

WM_H - wartość wskaźnikowa poziomu emisji pól elektromagnetycznych dla miejsc dostępnych dla ludności dla składowej magnetycznej pola

7. Stwierdzenie zgodności

Na podstawie wytycznych podanych w Rozporządzeniu Ministra Zdrowia z dnia 17 grudnia 2019 r. w sprawie dopuszczalnych poziomów pól elektromagnetycznych w środowisku (Dz.U. 2019 poz. 2448) oraz sposobów sprawdzania dotrzymania tych poziomów zgodnie z Rozporządzeniem Ministra Klimatu z dnia 17 lutego 2020 r. w sprawie sposobów sprawdzania dotrzymania dopuszczalnych poziomów pól elektromagnetycznych w środowisku (Dz.U. 2020 poz. 258) oraz Rozporządzeniem Ministra Klimatu i Środowiska z dnia 6 maja 2022 r. zmieniającego rozporządzenie w sprawie sposobów sprawdzania dotrzymania dopuszczalnych poziomów pól elektromagnetycznych w środowisku (Dz.U. 2022 poz. 1121), dotyczących źródła wymagań, które muszą być spełnione, w oparciu o zasadę podejmowania decyzji zgodną z pkt. 26 Rozporządzenia Ministra Klimatu z dnia 17 lutego 2020 r. (Dz.U. 2020 poz. 258), na podstawie wyników pomiarów pól elektromagnetycznych wykonanych w dniu 2023-03-08 stwierdzono, że wszystkie wyniki przeprowadzonych pomiarów w danym obszarze pomiarowym oraz wyznaczone na tej podstawie wskaźniki WME oraz WMH są mniejsze od wartości dopuszczalnych – zgodnie z przepisami wydanymi na podstawie art. 122 ust. 1 ustawy z dnia 27 kwietnia 2001 r. – Prawo ochrony środowiska

„Bez pisemnej zgody Laboratorium niniejsze sprawozdanie nie może być powielane inaczej, jak tylko w całości. Ponadto wyniki dotyczą tylko badanych obiektów przywołanych w niniejszym sprawozdaniu z badań”

– załącznikiem do Rozporządzenia Ministra Klimatu i Środowiska z dnia 17 lutego 2020 r. w sprawie sposobów sprawdzania dotrzymywania dopuszczalnych poziomów pól elektromagnetycznych w środowisku (Dz.U. 2020 poz. 258, pkt 26).

8. Oświadczenie.

Wyniki badania odnoszą się wyłącznie do badanego obiektu.

Bez pisemnej zgody sprawozdanie nie może być powielane inaczej, jak tylko w całości.

Uwagi i zastrzeżenia przyjmowane są w formie pisemnej.

9. Spis załączników.

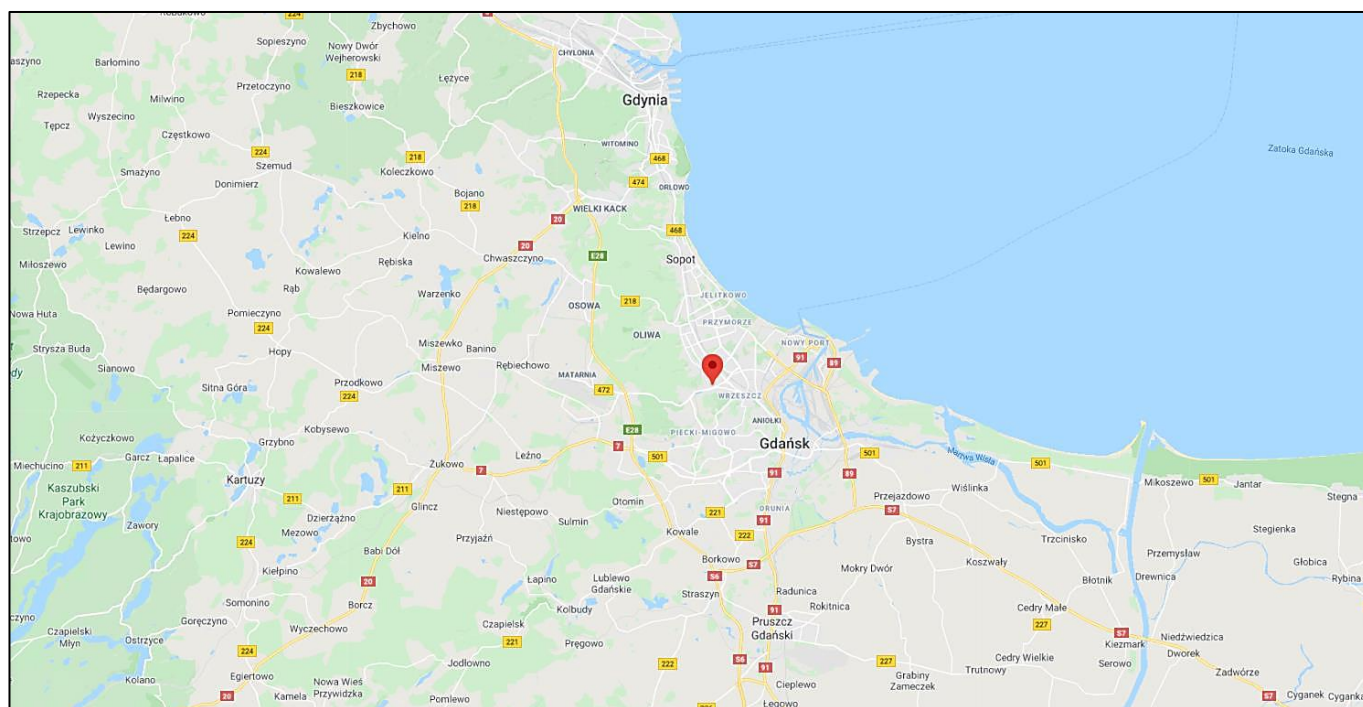
Zał. 1. Lokalizacja obiektu.

Zał. 2. Widok pionów pomiarowych

Zał. 3. Widok stacji bazowej

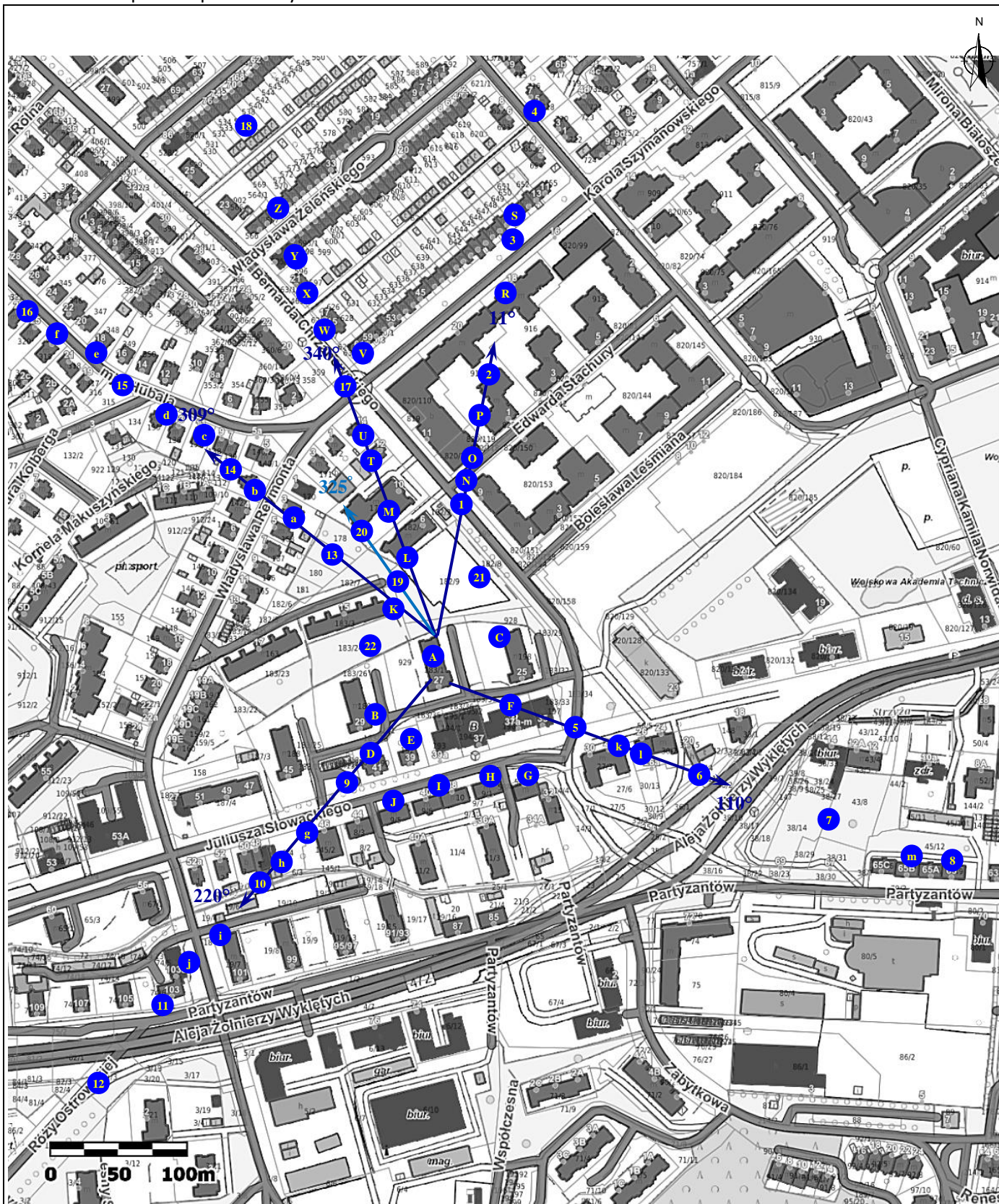
Koniec sprawozdania

Zał. 1. Lokalizacja obiektu








Współrzędne geograficzne	
szerokość:	54°22'50.46"N
długość:	18°35'11.32"E

Załącznik 2. Widok pionów pomiarowych



LEGENDA:

-  inna instalacja radiokomunikacyjna
-  brak dostępu
-  pion pomiarowy
-  antena sektorowa
-  antena radioliniowa

Skala 1: 5000

Załącznik 3. Załączniki graficzne

